

СПИСОК ЛИТЕРАТУРЫ

1. Клодель Б., Брейсс М., Фор Л., Генин М. Явления люминесценции на поверхности и модель электронных энергетических уровней полупроводниковых катализаторов // Журнал физической химии. – 1978. – Т. 52. – № 12. – С. 3080–3086.
2. Шигалугов С.Х., Тюрин Ю.И., Стыров В.В., Толмачева Н.Д. Гетерогенная хемилюминесценция катализаторов-кристаллофосфоров в смеси CO+O // Кинетика и катализ. – 2000. – Т. 41. – № 4. – С. 586–592.
3. Шигалугов С.Х. Люминесценция поверхности твердых тел, возбуждаемая в гетерогенных реакциях с участием кислородных и кислородсодержащих частиц: Дис. ... канд. физ.-мат. наук. – Норильск, 1989. – 211 с.
4. Стыров В.В., Толмачева Н.Д., Тюрин Ю.И., Шигалугов С.Х. Гетерогенная хемилюминесценция кристаллофосфоров в продуктах диссоциации диоксида серы // Поверхность. Рентгеновские, синхротронные и нейтронные исследования. – 2000. – № 4. – С. 68–74.
5. Чистякова Н.В., Плотникова Е.Ю. Статистическое моделирование процесса диффузии атомов кислорода в люминофоре $Y_2O_3:Bi$ // Перспективы развития фундаментальных наук: Труды V Междунар. конф. студентов и молодых учёных. – Томск, 2008. – С. 105–107.
6. Шигалугов С.Х., Емельянов В.Н., Катаев А.Н., Тюрин Ю.И. Установка для изучения неравновесных атомно-молекулярных и электронных процессов на поверхности твердых тел // Радиационно-термические эффекты и процессы в неорганических материалах: Тр. IV Междунар. науч. конф. – Томск, 2004. – С. 316–320.
7. Бреннан Д. Атомизация двухатомных молекул на металлах // Катализ. Физико-химия гетерогенного катализа // Под ред. С.З. Рогинского. – М.: Мир, 1967. – С. 288–317.
8. Радиг А.А., Смирнов Б.М. Справочник по атомной и молекулярной физике. – М.: Атомиздат, 1960. – 240 с.
9. Басов Л.Л., Котельников В.А., Солоницын Ю.П. Фотодиссоциация простых молекул на окисных адсорбентах // Спектроскопия фотопревращений в молекулах / Под ред. Б.А. Свешникова. – Л.: Наука, 1977. – С. 228–238.
10. Франкин В.П., Николаев И.А., Стыров В.В., Тюрин Ю.И. Адсорбционная люминесценция кристаллов в молекулярных пучках кислорода // Теоретическая и экспериментальная химия. – 1981. – Т. 17. – № 6. – С. 757–773.
11. Breyses M., Claydel B., Faure L., Guenin M. Chemiluminescence induced by catalysis. Part III. Luminescent transitions of Europium ions in a Thoria matrix during the catalysis of carbon monoxide oxidation // Rare Earths Mod. Sci. and Technol. – N.Y.-L., 1978. – P. 99–105.

Поступила 25.11.2008 г.

УДК 539.21

ЛЮМИНЕСЦЕНЦИЯ ПОВЕРХНОСТИ ТВЕРДЫХ ТЕЛ, ИНИЦИИРУЕМАЯ ПРЕДАДСОРБИРОВАННЫМИ МОЛЕКУЛЯРНЫМИ ЧАСТИЦАМИ

Ю.И. Тюрин, С.Х. Шигалугов*, В.Н. Емельянов*, А.Н. Катаев*, Ю.В. Маловичко*, Е.Ю. Плотникова

Томский политехнический университет

E-mail: tyurin@tpu.ru

*Норильский индустриальный институт

E-mail: fizika@norvuz.ru

Изучена гетерогенная люминесценция, возбуждаемая при напуске потока молекулярных кислородсодержащих частиц на люминофоры $Zn_2SiO_4:Mn$ и $Y_2O_3:Bi^{3+}$, поверхности которых предварительно заполнены молекулами оксида углерода, кислорода или оксида азота. Определены скорости и сечения процессов рекомбинации $N_2O + CO - L \rightarrow CO_2 - L + N_2$ ($\sigma = 5 \cdot 10^{-22} \text{ см}^2$, 400 K); $O_2 + CO - L \rightarrow CO_3 - L$ ($\sigma = 2 \cdot 10^{-22} \text{ см}^2$, 400 K); $CO + O_2 - L \rightarrow CO_3 - L$ ($\sigma = 2 \cdot 10^{-22} \text{ см}^2$, 550 K); $CO + N_2O - L \rightarrow CO_2 - L + N_2$ ($\sigma = 7 \cdot 10^{-22} \text{ см}^2$, 550 K) на образцах $Zn_2SiO_4:Mn$, $Y_2O_3:Bi$.

Ключевые слова:

Поверхность, люминесценция, твердое тело, адсорбция атомов, рекомбинация атомов, кислородсодержащие частицы.

Введение

Гетерогенная хемилюминесценция (ГХЛ) – люминесценция, возбуждаемая при протекании химических реакций на поверхности твердых тел [1, 2].

Возбуждение ГХЛ осуществляется в актах сильноэнергетических превращений на поверхности и в процессах электронного обмена между твердым телом и адсорбатом.

Такими актами являются адсорбция атома или молекулы, чаще всего кислорода, на поверхности анионной вакансии или атоме избыточного метал-

ла оксида и стадия рекомбинации ранее адсорбированных атомов между собой или ударной рекомбинации адсорбированного атома с газофазным.

Твердое тело стабилизирует продукты реакции, являясь акцептором энергии колебательного и электронного возбуждения и преобразует энергию химической реакции в энергию люминесцентного излучения. Кинетические, стационарные и спектральные характеристики ГХЛ определяются элементарными актами взаимодействия газ-поверхность и могут быть использованы в качестве метода наблюдения, контроля и изучения как активной

газовой атмосферы, так и состояния поверхности твердого тела и взаимодействия объема твердого тела с поверхностью.

В работе изучена люминесценция кристаллофосфоров $Zn_2SiO_4:Mn$ и $Y_2O_3:Bi^{3+}$, возбуждаемая предварительно адсорбированными кислородо содержащими молекулами (N_2O , CO , O_2), и проведен анализ данных об электронных и атомно-молекулярных процессах на поверхности твердых тел, находящихся в контакте с указанными газами. Методика и техника эксперимента описана в [3].

Экспериментальные и теоретические результаты

При напуске молекул оксида азота с плотностью потока $j_{N_2O}=1,5 \cdot 10^{20} \text{ см}^{-2} \cdot \text{с}^{-1}$ на поверхность эффективного катодолюминофора $Zn_2SiO_4:Mn$ с предварительно адсорбированными молекулами CO (предадсорбция 13 мин. при $T_{Zn_2SiO_4}=295 \text{ K}$ в атмосфере CO при давлении 65 Па), с последующим нагревом до температуры 400 или 500 К и откачкой в течение 2 мин. до $P_{CO}=27 \text{ мPa}$, наблюдается вспышка люминесценции образца [1], кинетические кривые люминесценции $I(t)$ имеют экспоненциальный характер на участках затухания, рис. 1:

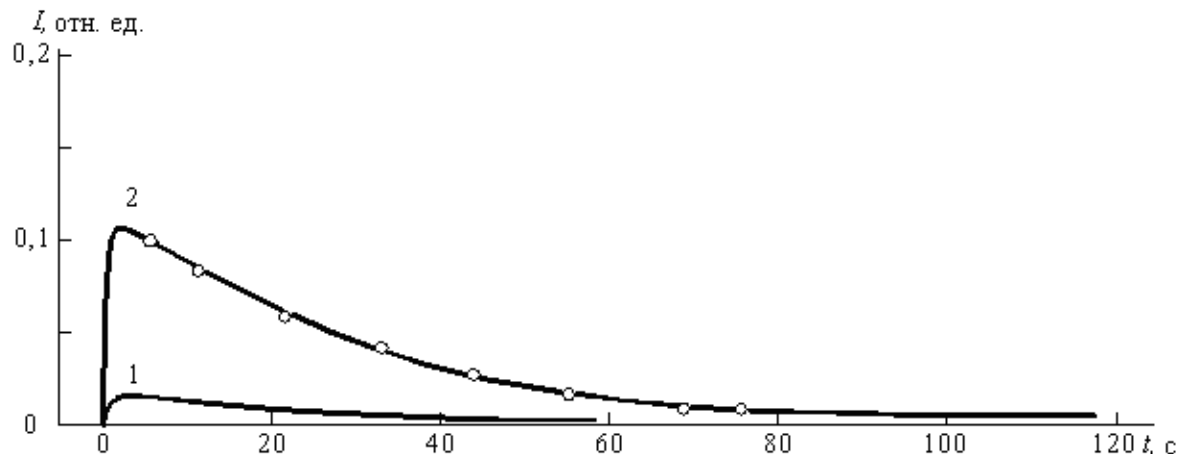


Рис. 1. Вспышки люминесценции I ($\lambda_{\max}=523 \text{ нм}$) при напуске молекул N_2O ($j_{N_2O}=1,5 \cdot 10^{20} \text{ см}^{-2} \cdot \text{с}^{-1}$) на поверхность $Zn_2SiO_4:Mn^{2+}$, предварительно заполненную молекулами $CO-L$. Температура образца: 1) 400; 2) 550 K

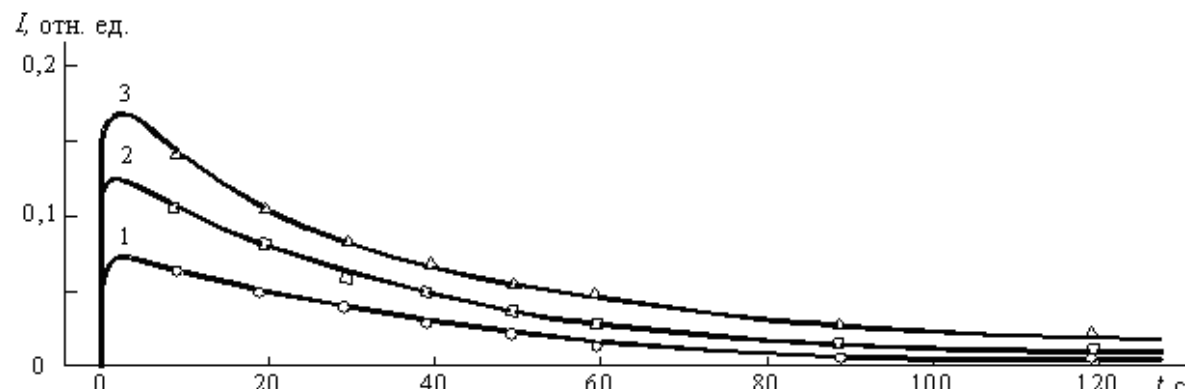


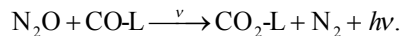
Рис. 2. Вспышки люминесценции виллемита ($\lambda_{\max}=523 \text{ нм}$) при напуске молекул O_2 ($j_{O_2}=1,5 \cdot 10^{20} \text{ см}^{-2} \cdot \text{с}^{-1}$) на поверхность $Zn_2SiO_4:Mn^{2+}$, предварительно заполненную молекулами $CO-L$. Температура образца: 1) 400, 2) 550, 3) 625 K

$$I(t) = I_0 \exp(-vt); \quad I(t) = 0,13 \exp(-3,65 \cdot 10^{-2} t),$$

при $T=550 \text{ K}$ (I – отн. ед., t – с).

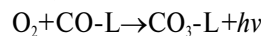
Здесь $v=\sigma j_{N_2O}$, где σ – сечение адсорбции N_2O , j_{N_2O} – плотность потока молекул оксида азота.

Скорость роста люминесценции на начальных участках кинетических кривых лимитируется скоростью поступления молекул N_2O на образец и является практически постоянной. Данному виду кинетических кривых в наибольшей степени отвечает возбуждение люминесценции в процессе окисления $CO-L$ в реакции первого порядка за счёт избытка N_2O :



Сечение этого процесса при 550 K составляет $\sigma=j_{N_2O}=2,5 \cdot 10^{-22} \text{ см}^2$.

Экспоненциальные кривые затухания люминесценции $Zn_2SiO_4:Mn$ $I(t)=I_0 \exp(-vt)$ наблюдаются и при напуске молекул O_2 на предадсорбированный $CO-L$ (прежние условия предадсорбции CO на поверхности $Zn_2SiO_4:Mn$), рис. 2, кривые 1–3. В этом случае наблюдается люминесцентное свечение $Zn_2SiO_4:Mn^{2+}$, возбуждаемое в реакции



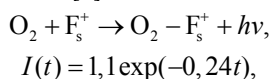
Параметры, аппроксимирующие кинетические кривые затухания свечения, приведены в табл. 1.

Таблица 1. Значения параметров люминесценции $Zn_2SiO_4:Mn$ при гетерогенной рекомбинации кислорода O_2 с предадсорбированным оксидом углерода $CO-L$

T, K	I_0 , отн. ед.	$v \cdot 10^2, c^{-1}$	$\sigma \cdot 10^{22}, cm^2$
400	0,082	2,30	1,3
550	0,130	2,28	1,6
625	0,129	2,50	1,8

Кинетические кривые люминесценции на люминофоре $Y_2O_3:Bi^{3+}$ с предадсорбированным $CO-L$ (те же условия предадсорбции) при напуске молекул N_2O или O_2 представлены на рис. 3, кривые 1 и 2 соответственно. На этом же рисунке приведена кинетическая кривая адсорболюминесценции $Y_2O_3:Bi^{3+}$ в молекулярном кислороде (AL_{O_2}), кривая 3, при напуске O_2 на «чистую» поверхность $Y_2O_3:Bi^{3+}$, полученную после длительной термовакуумной обработки (12 ч. при давлении 10^{-5} Па при 600 К).

На начальных участках спада $I(t)$ кривых 1–3, сразу после вспышек люминесценции $Y_2O_3:Bi^{3+}$, проявляется общая быстрая стадия, связанная, вероятно, с взаимодействием налетающего потока молекул с собственными дефектами поверхности $Y_2O_3:Bi^{3+}$, вероятно F_s^+ -центрами или атомами избыточного металла [2]:



кривая 3 (I – отн. ед., t – с), $\sigma_{O_2} = 1,6 \cdot 10^{-21} \text{ см}^2$ при 400 К; $j_{O_2} = 1,5 \cdot 10^{20} \text{ см}^{-2} \cdot \text{с}^{-1}$.

Далее идёт медленная стадия люминесценции $Y_2O_3:Bi^{3+}$, скоростью которой определяется теми же, что и для образца $Zn_2SiO_4:Mn$, реакциями:

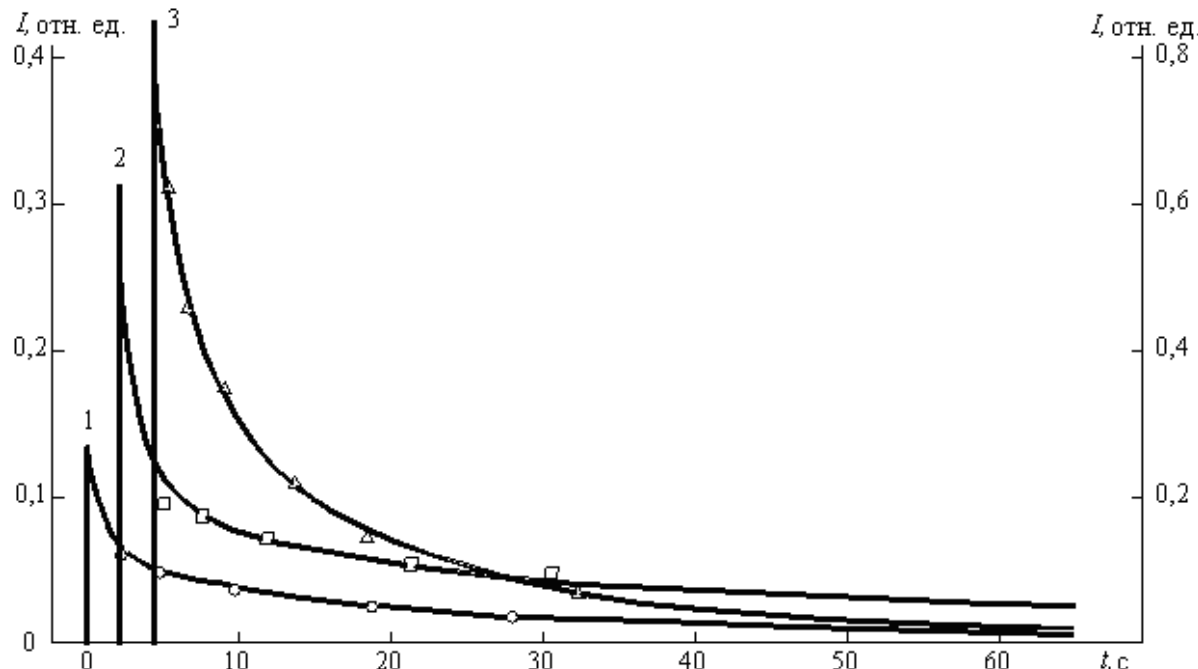
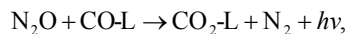
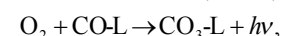


Рис. 3. Вспышки люминесценции $Y_2O_3:Bi^{3+}$ ($\lambda_{\max} = 503$ нм), 400 К при напуске молекул: 1) N_2O ($j_{N_2O} = 1,5 \cdot 10^{20} \text{ см}^{-2} \cdot \text{с}^{-1}$) и 2,3) O_2 ($j_{O_2} = 1,5 \cdot 10^{20} \text{ см}^{-2} \cdot \text{с}^{-1}$) на образец $Y_2O_3:Bi$. Поверхность: 1,2) оксида с предадсорбированным $CO-L$; 3) после термовакуумной обработки



$$I(t) = 0,08 \exp(-0,058t),$$

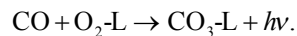
$$\sigma = 5 \cdot 10^{-22} \text{ см}^2, \quad (400 \text{ К}),$$



$$I(t) = 0,11 \exp(-0,026t),$$

$$\sigma = 2 \cdot 10^{-22} \text{ см}^2, \quad (400 \text{ К}).$$

Быструю стадию в кинетических кривых затухания люминесценции удается исключить, «заличив» поверхностные дефекты окислением атомов сверхстехиометричного иттрия на поверхности $Y_2O_3:Bi^{3+}$ кислородом [2]. После такой обработки кинетическая кривая люминесценции во всём временном интервале затухания свечения описывается одной экспонентой, рис. 4, кривая 1. Предварительная сорбция молекулярного кислорода на поверхности $Y_2O_3:Bi$ проведена в течении 15 мин при 300 К и $P_{O_2}=65$ Па. Затем выполнена быстрая откачка кислорода с прогревом до рабочей температуры 550 К и осуществлен напуск CO , рис. 4, кривая 1:



Спад интенсивности в это случае строго экспоненциален

$$I(t) = 0,11 \exp(-0,032t),$$

$$\sigma = 2 \cdot 10^{-22} \text{ см}^2, \quad (550 \text{ К}).$$

Предварительное заполнение поверхности N_2O не ведёт к такой же полноте «заливания» дефектов, как в случае с O_2 . После воздействия N_2O имеется участок быстрого спада люминесценции, рис. 4 (кривая 2) (при $t < 5$ с). Более медленная стадия с относительной вероятностью $v=0,096 \text{ с}^{-1}$

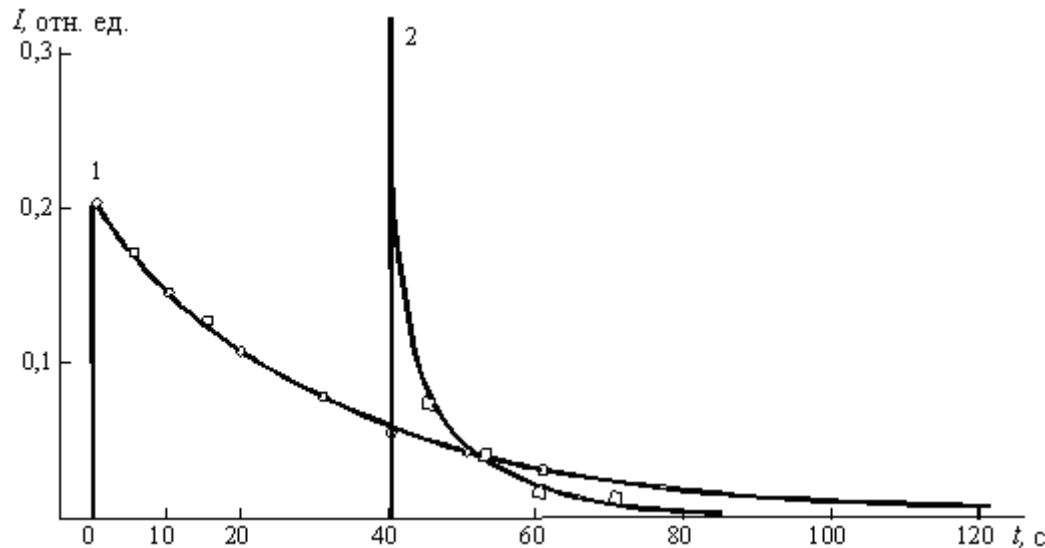
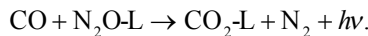


Рис. 4. Вспышки люминесценции $Y_2O_3:Bi^{3+}$ ($\lambda_{max}=503$ нм, 550 К) при напуске молекул CO $j_{CO}=1,9 \cdot 10^{20} \text{ см}^{-2} \cdot \text{с}^{-1}$ на поверхность люминофора с предадсорбированными: 1) O_2 и 2) N_2O

$$I(t) = 0,06 \exp(-0,096t),$$

$$\sigma = 7 \cdot 10^{-22} \text{ см}^2, \quad (550 \text{ K}, t > 5 \text{ с}),$$

относится к процессу



Обнаруженный эффект испускания квантов света твердыми телами при напуске кислородосодержащих газов на их поверхность, содержащую заранее адсорбированные атомы или молекулы других газов, позволяет получить важную информацию о параметрах межмолекулярного взаимодействия газовых частиц на поверхности в одно- и двухкомпонентных газовых смесях (константы скорости, эффективные сечения, энергии активации), а также о механизмах их протекания. Это выдвигает люминесцентный метод в ряд эффективных способов с технологией «*in situ*» исследования атомно-молекулярных процессов на поверхности конденсированных сред.

СПИСОК ЛИТЕРАТУРЫ

- Стыров В.В., Тюрин Ю.И. Неравновесные хемоэффекты на поверхности твердых тел. – М.: Энергоатомиздат, 2003. – 507 с.
- Шигалугов С.Х., Стыров В.В., Тюрин Ю.И., Кротов Ю.В. Гетерогенная хемилюминесценция с участием предадсорбированных атомов и молекул // III Всеросс. совещ. по хемилюминесценции: Тез. докл. – Рига, 1990. – С. 147–148.
- Тюрин Ю.И., Шигалугов С.Х., Емельянов В.Н., Катаев А.Н., Маловичко Ю.В., Плотникова Е.Ю. Люминесценция поверхности твердых тел, инициируемая предадсорбированными атомами кислорода // Известия Томского политехнического университета. – 2009. – Т. 314. – № 2. – С. 125–131.
- Вайнер В.С., Вейнгер А.И. Исследование образования и превращений точечных дефектов в монокристаллах Y_2O_3 // Физика твердого тела. – 1977. – Т. 19, вып. 2. – С. 528–532.
- Чистякова Н.В., Плотникова Е.Ю. Статистическое моделирование процесса диффузии атомов кислорода в люминофоре $Y_2O_3:Bi$ // Перспективы развития фундаментальных наук: Труды V Междунар. конф. студентов и молодых учёных. – Томск, 2008. – С. 105–107.

Поступила 25.11.2008 г.